

文章编号: 1004-7271(2001)02-0154-04

# 乌贼墨中多酚氧化酶的分离及纯化

郑校先, 戚晓玉, 周培根, 江津津

(上海水产大学食品学院, 上海 200090)

**摘要:**用 pH 7.2 磷酸缓冲液从乌贼墨汁中提取多酚氧化酶。提取的粗酶液经 30%~80%饱和度硫酸铵分级沉淀、透析、DEAE-Sepharose CL-6B 柱层析和 Sephadex G-150 柱层析后, 得到纯化的多酚氧化酶, 纯化倍数为 10.78。纯化后的酶液经聚丙烯酰胺凝胶电泳, 分别采用银染色和多酚氧化酶活性染色均显示一条电泳带。

**关键词:**乌贼墨; 多酚氧化酶; 纯化

中图分类号:S985.9 文献标识码:A

## Purification of polyphenol oxidase from cuttlefish ink

ZHENG Xiao-xian, QI Xiao-yu, ZHOU Pei-gen, JIANG Jin-jin

(College of Food Science, SFU, Shanghai 200090, China)

**Abstract:** Polyphenol oxidase (PPO) was extracted from the cuttlefish ink with pH 7.2 sodium phosphate extraction buffer. The crude enzyme extract was fractionated with solid ammonium sulfate of 30%~80% saturation. After dialysis, the enzyme solution was purified by DEAE-Sepharose CL-6B column chromatography and Sephadex G-150 column chromatography respectively. A 10.78 fold purification of PPO was obtained. The result from polyacrylamide gel electrophoresis of purified enzyme indicated that only one band was found using silver stain and PPO activity stain, respectively.

**Key words:** cuttlefish ink; Polyphenol oxidase; purification

多酚氧化酶(Polyphenol oxidase, 简称 PPO, E.C.1.14.18.1)分布很广, 在微生物、植物、动物和人类都有存在。研究发现该酶是生物体合成黑色素的关键酶<sup>[1]</sup>。自从科学家证实乌贼墨含有抗癌物质以后, 它已成为日本开发生产保健食品的主要原料之一<sup>[2]</sup>。国外有学者从乌贼墨检测到酪氨酸酶的活性<sup>[3]</sup>, 但是, 对乌贼墨黑色素形成机理的研究尚未见报道。本文主要目的是从乌贼墨中分离纯化 PPO, 从而为研究乌贼墨 PPO 特性以及墨汁黑色素形成机理提供高纯度的酶液。

## 1 材料与方法

### 1.1 实验材料

新鲜的乌贼购自上海当地市场, 大小均匀, 带回实验室后迅速取其墨囊中墨汁, 于 4℃ 下贮藏。

## 1.2 PPO 的提取及纯化

### 1.2.1 PPO 的提取

PPO 的提取主要参考 Chen 等<sup>[4]</sup>的方法,并略作修改。取乌贼墨粉 30g,加预先冷却的 150mL 0.05 mol/L, pH 7.2 磷酸盐提取缓冲液(内含 NaCl 浓度为 1.0mol/L 和 0.2% Brij35)。在 4℃下温和搅拌提取 1h。然后将提取液于 20 000 g 离心 30min,取上清液作为粗酶液。

### 1.2.2 硫酸铵沉淀

加入固体硫酸铵粉末到粗酶液中,使其饱和度达到 30%,静置 30min 后,于 20 000 g 离心 30min,取上清液,然后再加入固体硫酸铵粉末使其饱和度达到 80%,静置 30min 后,于 20 000 g 离心 30min,收集沉淀。再将其溶解在少量体积的 0.05 mol/L, pH 7.2 的磷酸钠缓冲液后,以该缓冲液为透析液,透析过夜,其间更换 3 次透析液。

### 1.2.3 DEAE-Sephadex CL6B 柱层析

经透析的酶液采用 DEAE-Sephadex CL - 6B 柱层析纯化<sup>[5]</sup>。上样后,先用 500mL 含 0~1.0 mol/L NaCl 的 0.05 mol/L, pH 7.2 的磷酸钠缓冲溶液进行梯度洗脱,然后用含 1.0 mol/L NaCl 的 0.05 mol/L, pH 7.2 的磷酸钠缓冲液洗脱,流速为 0.3mL/min,每 6.8mL 收集一管。以 0.05 mol/L, pH 7.2 的磷酸钠缓冲液为对照,于波长 280nm 处测定各管洗脱液的吸光度值。以 A280 为纵坐标,洗脱液管号为横坐标,作出蛋白质洗脱曲线;以每管 PPO 活性为纵坐标,洗脱液管号为横坐标,作出 PPO 洗脱曲线。最后将含有高 PPO 活性的各管洗脱液合并,按前面所述的方法进行透析。

### 1.2.4 Sephadex G - 150 柱层析

上述透析后的酶液通过 Sephadex G - 150 葡聚糖凝胶柱,用 0.05 mol/L, pH 7.2 的磷酸钠缓冲液进行洗脱,流速为 0.18mL/min,每 5mL 收集一管。按上述方法分别作出蛋白质和 PPO 洗脱曲线。以上 PPO 提取及纯化步骤均在 4℃下进行。

## 1.2 PPO 纯度的电泳鉴定

纯化后酶液的纯度用聚丙烯酰胺凝胶电泳(PAGE)进行鉴定。凝胶浓度为 7%,电极缓冲液为 0.05 mol/L, pH 7.2 的磷酸钠缓冲溶液,起始电流为 5mA,待样品出样品槽后,加大电流至 30mA,电泳 9~10h。分别采用银染色<sup>[6]</sup>和 PPO 活性染色<sup>[4]</sup>两种方法检测蛋白质和酶带。

## 1.4 PPO 活力及蛋白质测定

以 0.05 mol/L, pH 6.5 磷酸钠缓冲溶液配成 5 mmol/L 的多巴溶液为底物。取 2.98mL 底物溶液 30℃保温 3min 后,迅速加入 0.02mL 酶液,混匀,在波长 475nm 处测其吸光度每分钟的变化。在上述条件下,使吸光度值每分钟增加 0.001 所需要的酶量为一个酶活力单位<sup>[7,8]</sup>。

蛋白质含量的测定方法参考 Hartree 法<sup>[9]</sup>,标准蛋白为牛血清白蛋白( BSA )。

## 2. 结果与讨论

### 2.1 PPO 的稳定性

图 1 表示粗酶液的 PPO 活力与时间的关系曲线。结果表明,4℃下,该酶在 0.05mol/L, pH 7.2 的磷酸钠缓冲液系统中一周内表现出极高的稳定性,而且酶活性在贮藏的 6d 内略有增加。这一现象可能是该酶液中存在有少量的 PPO 酶原,受到激活所致<sup>[10]</sup>。

### 2.2 PPO 的提取及纯化

由表 1 可见,粗酶经 30%~80% 饱和度硫酸铵分级沉淀后,去除了 50.7% 的杂蛋白,酶活力回收率

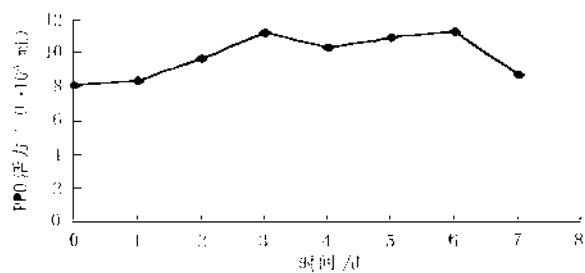


图 1 在 4℃下 PPO 稳定性

Fig. 1 The stability of PPO at 4℃

高达 126.59%，比活力比粗酶液提高了 2.57 倍。在提取虾类 PPO 的过程中也有酶活性增加的现象<sup>[6]</sup>，原因可能是在提取过程中去除了一些 PPO 抑制物质而造成的。

表 1 乌贼墨 PPO 纯化结果  
Tab. 1 Purification of the cuttlefish ink PPO

纯化步骤	体积 (mL)	活力 (U/mL)	蛋白含量 (mg/mL)	比活力 (U/mg)	产率 (%)	纯化倍数
粗 酶	97	3146.7	1.25	2518.97	100	1
30% ~ 80% 的硫酸铵沉淀	14	27600.0	4.27	6470.06	126.59	2.57
DEAE - Sepharose CL - 6B	21	12544.6	0.76	16506.02	86.31	6.55
Sephadex G - 150	26	7062.7	0.26	27164.35	60.16	10.78

经硫酸铵沉淀后的 PPO 采用 DEAE-Sepharose CL - 6B 柱层析进一步纯化，并选用改变洗脱液离子强度的方法对 PPO 进行梯度洗脱，NaCl 的梯度为 0 ~ 1.0 mol/L。从图 2 可以看出，通过此层析柱，杂质蛋白和酶得到了有效的分离。根据洗脱曲线，将对应于第一个洗脱峰的第 29 ~ 31 管洗脱液合并，经测定蛋白浓度为 6.30 mg/mL，没有检测到 PPO 活力。将对应于第二个洗脱峰的第 43 ~ 45 管洗脱液合并，蛋白浓度为 0.76 mg/mL，酶活力为 12 544.6 U/mL，比活力为 16 506.02 U/mg，对应的 NaCl 浓度大约为 0.6 mol/L。经过此纯化步骤，酶液的比活力比粗酶液提高了 6.55 倍。

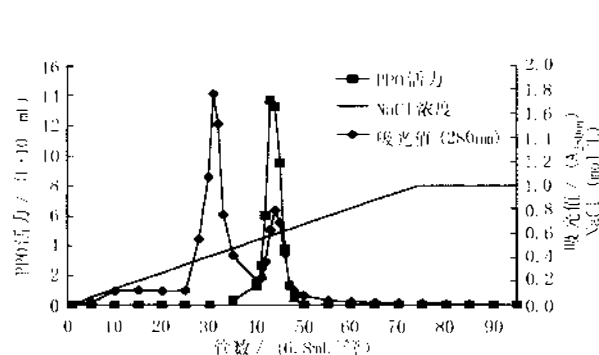


图 2 PPO 的 DEAE-Sepharose CL-6B 柱层析洗脱曲线

Fig. 2 Elution profile of PPO from DEAE-Sepharose CL-6B column

上述 DEAE-Sepharose CL - 6B 柱层析后的酶液透析后，经过 Sephadex G - 150 聚丙烯酰胺凝胶柱层析进一步纯化，洗脱曲线如图 3 所示。将对应于洗脱峰的第 7 ~ 8 管洗脱液合并，蛋白质含量为 0.26 mg/mL，酶活力为 7 062.73 U/mL，比活力为 27 164.35 U/mg，经过此纯化步骤，酶液的比活力比粗酶液提高了 10.78 倍。在上述整个纯化过程中，酶活力的回收率高达 60.16%，同时杂质蛋白去除率为 94.42%。

### 2.3 PPO 纯度的电泳鉴定

PPO 聚丙烯酰胺凝胶水平板电泳结果见图 4。A 代表银染色，B 代表以邻苯二酚为底物的 PPO 活性染色。由图 4 可见，采用银染色和活性染色都只

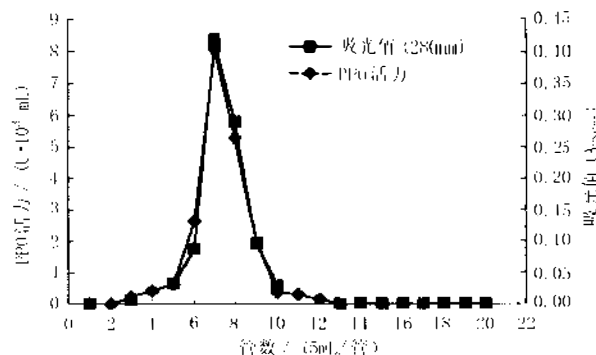


图 3 PPO 的 Sephadex G-150 柱层析洗脱曲线

Fig. 3 Elution profile of PPO from Sephadex G-150 column

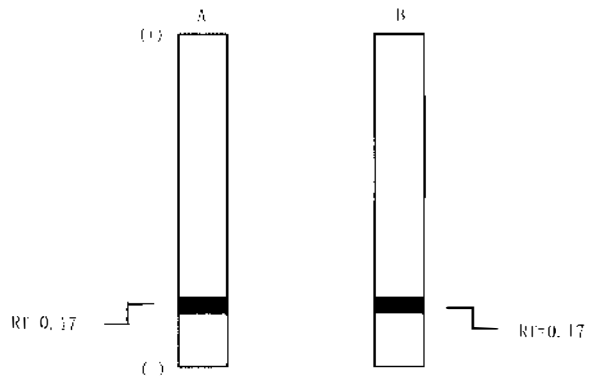


图 4 PPO 纯度的聚丙烯酰胺电泳图谱

Fig. 4 PAGE pattern of purified PPO  
(A: 银染色的纯化酶液电泳图；B: 邻苯二酚  
为底物活性染色的纯化的酶液电泳图)

检测到一条电泳带的存在,且它们的迁移率(Rf)是完全一样的,均为0.17,这说明酶液已经达到很高的纯度。

### 参考文献:

- [1] Jeffrey D L, Linda A P. Tyrosinase isozyme heterogeneity in differentiating B16/C3 melanoma[J]. J Bioch, 1986, 261: 166-170.
- [2] 王杏珠.日本乌贼墨的开发和利用[J].海洋信息,1995,12:15.
- [3] Hajime M, Takaya Y, Uchisawa H, et al. Antitumor peptidoglycan with new carbohydrate structure from squid ink[C]. Conference CA Section: Pharmacology Section cross-reference(s), 1997, 12: 331-336.
- [4] Chen J S, Rolle R S, Marshall M R, et al. Comparison of phenoloxidase activity from florida spiny lobster and western Australian lobster[J]. Journal of Food Science, 1991, 56(1): 154-157.
- [5] Shaw J F, Chu H L, Pan B S. Purification of isozymes of bighead shrimp tyrosinase[J]. Journal of the Chinese Agricultural Chemical Society, 1989, 27(3): 350-359.
- [6] 郭光君.蛋白质电泳实验技术[M].北京:科学出版社,1999, 88-91.
- [7] 赵 娇,戚晓玉,尤瑜敏,等.日本对虾的酚氧化酶特性研究[J].上海水产大学学报,1997,6(3):157-165.
- [8] Zhou P G, Smith N L, Lee C Y. Potential purification and some properties of monore apple peel polyphenol oxidase[J]. Journal of Agricultural Food Chemistry, 1993, 41(4):1892-1895.
- [9] Hartree E F. Determination of protein: A modification of the Lowry method that gives a linear photometric response[J]. Analytical Biochemistry, 1972, 48: 422-427.
- [10] Espin J C, Leeuwen J V, Wöhres H J. Kinetic study of the activation process of a latent Mushroom (*Agaricus bisporus*) tyrosinase by serine proteases[J]. Journal of Agricultural Food Chemistry, 1999, 47(9):3509-3517.